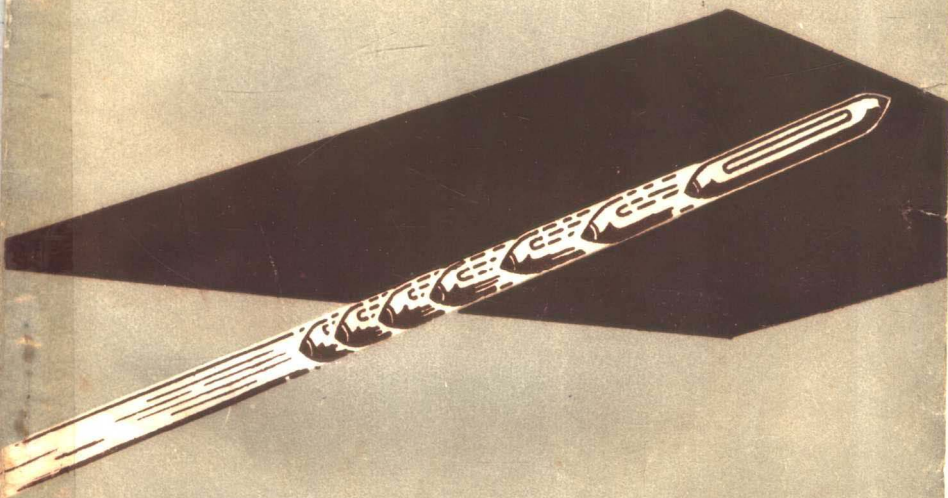


# 梭子均勻加速度的研究

楊 項 譯  
海 航 校



紡織工業出版社

# 梭子均勻加速度的研究

楊 青 譯 項海航 校

## 内 容 簡 介

本書研究了梭子的各种可能的运动方式的理論，有助于合理地設計織机的凸輪投梭机构。文中提出了梭子在全部或部分投梭动程中具有实际等加速度的数学条件，闡明了織机參变數对于根据这些运动方式所作凸輪設計的影响，并研究了織机參变數的改变对每种运动方式的影响范围。

本書对提高織机的設計和技术革新的理論有参考价值，可供機械造专业的技术人员、研究人员和紡織院校师生閱讀。

## 梭子均匀加速度的研究

楊青輝 项海航校

紡織工业出版社出版

(北京新興安利發售工业部)

北京市新华书店业者许河然出字第 16 号

西四印刷厂印刷·新华書店发行

787×1092<sup>1</sup>/82 开本·32<sup>2</sup>/82 印张·1 插页·78 千字

1960年9月初版

1960年9月北京第1次印刷·印数 1~2700

定价(10) 0.53 元

# 目 录

第一章 緒言	(5)
第二章 數學的回顧	(8)
第三章 均匀实际加速度的數學條件	(10)
第一节 不变弹性	(10)
第二节 可变弹性	(11)
第四章 等名义速度; $s = v\theta$ 的运动	(14)
第五章 等名义加速度; $s = q\theta^2$ 的运动	(19)
第六章 正弦方式的实际加速度; $\ddot{s} = A \sin \mu t$ 的运动	(23)
第七章 复合运动	(32)
第一节 一般条件	(32)
第二节 $[s = v\theta; \ddot{s} = A]$ 的运动	(33)
第三节 $[s = q\theta^2; \ddot{s} = A]$ 的运动	(39)
第四节 前阶段运动的时间为任何值 $\tau$ 时复合运动的方式	(43)
第五节 $[\ddot{s} = kt; \ddot{s} = A]$ 的运动	(48)
第六节 $[\ddot{s} = \rho n(n t + \tan 75^\circ); \ddot{s} = A]$ 的运动	(51)
第七节 $[\ddot{s} = As \sin \mu t; \ddot{s} = A]$ 的运动	(53)
第八章 $\dot{x} = \frac{Ae^{\alpha t}}{1 + Pe^{\alpha t}}$ 的运动	(59)
第九章 加速过程的時間	(76)
第十章 刚性度的偶然改变对运动的影响	(85)
第一节 $s = v\theta$ 的运动	(86)
第二节 $s = q\theta^2$ 的运动	(88)
第三节 $\ddot{s} = As \sin \mu t$ 的运动	(88)

第四节	$\ddot{s} = A \sin \mu t$ ; $\ddot{s} = A$ 的运动	(89)
第五节	$\ddot{s} = kt$ ; $\ddot{s} = A$ 的运动	(90)
第六节	$\ddot{s} = \rho n \left( nt - \tan \frac{n\pi}{2} \right)$ ; $\ddot{s} = A$ 的运动	(91)
第七节	$\ddot{s} = \frac{Ax^\alpha}{1+Bx^\beta}$ 的运动	(92)
第十一章	機械速度改变的影响	(93)
第一节	$s = v\theta$ 的运动	(93)
第二节	$s = q\theta^2$ 的运动	(94)
第三节	$\ddot{s} = A \sin \mu t$ 的运动	(96)
第十二章	討論	(98)
第十三章	結束語	(101)
附录		(102)

## 第一章 緒 言

在現代的力織机上，由于应用瞬时的投梭力，梭子的加速度有一个很大的高峯数值。例如，在175轉/分的上打手帶織机上所作的測定，便說明了作用于重0.7磅的皮結在梭子上的加速力在0.015秒內即从零增加到51磅，再隔0.015秒后又下降到零。反复应用这种加速力有几种不良的后果，机架会发生振幅很大的側面振动。在加速期中两个相吻合的主要的輪齒会很快地被磨损。投梭机构的緩冲作用会导致能量的消耗与更多的振动，而投梭机构也就要有很大的强度以便忍受所加上的振盪应力。織机的传动机构必須能够担负投梭时的高峯負荷，投梭时的高峯負荷可能超过平均值的50%。因此减少投梭时的最大加速力是非常有利的。

要达到这个目的，只有两个方法：更加均匀的加速梭子，或在較长的距离中对梭子进行加速。利用梭箱的整个有用长度来均匀地加速梭子，将可能得到最好的工作条件。并且很大的改进也是可能的，只要計算在1呎距离上（兰开夏織机的最大实用距离）加速皮結及梭子以获得上例速度所需的均匀力，即能看出这一些。与目前的51磅相比較，其数值却只有17磅。

增加梭子加速过程中的距离而不增加加速度的均匀性所得到改善的办法，已由一些研究者証明了。通常的投梭皮带由双倍长的橡皮管所代替，并使皮結在投梭机构夹持于适当位置的情况下移动一定距离所需要的力降低了，从

250 磅/呎降到 80 磅/呎，加速过程的距离就延长为 0.15 小时而不再是 7.45 小时，而最大加速度则为 31 磅而不是 51 磅。但是这样的改进不可能应用到工业上去，因为延伸性好而又经久耐用的材料是很难找到的。

使用为得到均匀的名义加速度而设计的投梭凸轮（假使投梭机构的所有部分完全刚性，则梭子所获得的运动为梭子的名义运动）并不能得到均匀的实际加速度，而将得到波动的加速度；其最高值将为设计值的二倍。假定使投梭机构在均匀加速度发生前作适当的变形，则将能得到均匀的实际加速度，但是在夹持与放松投梭机构时所引起的实际困难，阻碍了这种方法在工业中的采用。

最近的研究是在于确定是否有一种梭子名义运动的方式能给予梭子均匀的实际加速度。若这一想法失败，就确定一种运动方式，这种运动方式能在整个有用的投梭动程中起加速作用，并且要除了凸轮的表面外，不改变投梭机构的任何部分。它所得出的最大加速度值不致太大地超过均匀的实际加速度，这样就避免了用上述减少最大加速度力的方法所遭遇的实际困难。

为了解决这个问题已经有三种方法。在第六章中，取  $A \sin \mu t$  的方式，则实际的最大加速度限制于  $A$  值，正弦是一种最简单的有界函数， $A$  与  $\mu$  均是常数， $t$  是时间。 $A$  与  $\mu$  是这样选定的，即  $A$  应当在使梭子于合适的距离中得到需要的速度的前提下愈小愈好。第二个方法即相当于预先变形，即是使投梭凸轮用一快速的名义加速度，随后再应用均匀的实际加速度。这种方式的运动将在第七章中进行讨论。第三

種方法將在第八章中敍述，在這種方法中，力——距離曲線的形式是考慮的出發點，對靠近原點的實際加速度與實際位移間的關係進行了研究，研究的結果作為在整個加速期中建立不同數量間關係的基礎。這三種方法均解決了均勻加速的問題；然而第一、第二種方法的結合應用似乎是比較好的方法。在下面的章節中將討論它們之間相對的優點。

## 第二章 数学的回顾

投梭机构的基本数学理论，应用在本文中的理论部分可简括如下：梭子的名义位置，（即在第一章中所定义的，假定投梭机构的所有部件均是完全刚性时，在加速期中和曲拐任何规定位置相对应的梭子所佔有的位置），也就是当用手慢慢回轉織机；弯軸在某一已知位置时梭子所佔据的位置。設投梭开始后經過的时间是  $t$  秒，这时弯軸所轉过的角度是  $\theta$ （以弧度表示）， $\varphi$  代表相应的名义位移，则它们之间的关系可以用下式表示：

式中  $f(\theta)$  是  $\theta$  的函数，它决定于投梭凸輪的形状以及貫連凸輪到梭子的各个部件的尺寸和位置。当織机运转时，投梭棒的弹性及投梭机构其他部分的可变性导致了一組新的力量产生作用。因而投梭机构的所有部件都受到弹性变形。在加速期中，弯軸在任何已知位置时，梭子的实际位移小于相应的名义位移。对現有的棉織机上通常所見到的名义运动（或称标量运动）而言，梭子运动的滞后距离最大可能增加到4吋，而后再行减小。假使梭箱的长度能够应用于整个投梭动作的过程，则在最后，滞后的距离能减少到零。已經由实验发现，加到梭子上的加速力与滞后距离成正比；所以假使  $x$  (呎)表示在时间  $t$  后的实际位移，则可得到运动方程式如下：

$$M\ddot{x} = \lambda(s - x) \dots \dots \dots \quad (2)$$

式中  $M$  (磅) 是梭子与皮结的重量,  $\lambda$  (磅/呎) 是投梭系统的刚

性，并能看作为常数。設将 $\frac{\lambda}{M}$ 写成 $n^2$ ，則运动的方程式变成标准的形式：

$$\ddot{\theta} = n^2(s - v), \dots \dots \dots \dots \dots \dots \quad (3)$$

$n$ 值的单位以秒<sup>-1</sup>表示，以后就方便地称之为投梭系統的刚性度； $n$ 值愈大实际运动就愈接近名义运动。

在这个理論中作了某些簡化的假定。掣梭鉄的阻力作为零，投梭机构中产生显著弹性变形部分的重量与皮結及梭子的全部重量比較时是可略去不計的。同时还假定在梭子加速过程中織机的速度是不变的，所以 $\theta = \omega t$ ， $\omega$ 是弯軸的角速度以弧度/秒表示。因此当 $s$ 与 $\theta$ 間的关系知道时，公式(3)就可进行积分。

### 第三章 均匀实际加速度的数学条件

## 第一节 不变弹性

現在就能够对梭子具有均匀实际加速度所必須具备的条件进行数学上的研究。假使当所有的  $t$  值大于或等于固定值  $t_0$  时, 实际加速度  $\ddot{x}$  有一定的常数  $A$ , 則由积分:

$$\left. \begin{array}{l} \ddot{x} = A \\ \dot{x} = At + B \\ x = \frac{At^2}{2} + Bt + C \end{array} \right\} t \geq t_0$$

式中  $B$  与  $C$  是积分常数。将  $x$  及  $\dot{x}$  代入运动方程式(3); 并解出  $s$ , 得

$$s = \frac{At^2}{2} + Bt + C + \frac{A}{n^2}, \quad (4)$$

現在有二種情況要考慮，第一，在整個運動中是均勻的  
實際加速度，即  $t_0 = 0$ 。然而，因為梭子從靜止開始運動，  
初始條件是  $t = 0 = x = \varphi$ 。因此  $B = C = 0$  而方程式(4)變為下  
列的形式：

$$s = \frac{At^2}{2} + \frac{A}{m^2}$$

在这种条件下, 当  $t=0$  时, 有一定的名义位移。这是预先变形的投梭机构的解析条件, 假使对所有的  $t$  值均需要均匀的实际加速度, 那末这就是唯一的解答。

另外的解答也是可能的，假使需要的严格性降低了，即

当  $t_0 > 0$  时，对所有的  $t$  值加速度将是均匀的，而  $t$  则大于或者等于  $t_0$ 。要达到这个要求必须制造一种投梭凸輪，这种凸輪可得到复合的名义运动，这样第一部分产生的实际加速度是从初始时的零增加到  $t_0$  时的  $A$  值，第二部分则产生均匀的实际加速度。在后阶段运动时， $\beta$  的方程式将变成方程式(4)的形式， $B$  与  $C$  不等于零，因为在等加速度时，在时间  $t_0$  时梭子的实际位移与速度将不等于零。这样的复合运动将在第七章中詳細討論。

現在已經證明了，在正常的織機條件下，若使投梭機構預先變形就能夠在整個的投梭過程中得到均勻的實際加速度，若要在投梭過程的後部分得到均勻的實際加速度，則只有採用適當的複合名義運動。研究其他可能得到均勻實際加速度的方法是有意義的。剛性度是方程式 8 中唯一的一個織機參變數，它決定於  $\lambda$  與  $M$  這二個數量之比，對任何在正常條件下的投梭機構這二數值均是常數。下一節將考慮剛性  $\lambda$  不是常數而作為  $s$ ,  $x$  或  $t$  的函數的情況。

### 第三节 可变弹性

由于  $s$  及  $\varphi$  都是  $t$  的函数，所以只要考虑刚性  $\lambda$  通过  $t$  来表示的情况。从运动方程式(2)中，假使  $\lambda$  是常数并在整个运动过程中等于  $A$ ，则  $s$  和  $\varphi$  遵照下列的关系：

$$MA = \lambda \left( \frac{1}{2} - \frac{At^2}{2} \right) \dots \dots \dots \quad (5)$$

因初始条件  $x = \dot{x} = t = 0$ , 所以  $\ddot{x} = At$  及  $x = \frac{At^2}{2}$ 。  
方程式可任意选择, 最方便的形式是:

$$s = \phi(t) + \frac{At^2}{2} \quad \dots \dots \dots \quad (6)$$

式中  $\phi(t)$  是  $t$  的函数，它的条件是  $\phi(0)=0$ ，因預先变形并不包括在内。从方程式(5)解出  $\lambda$ ，得

$$\lambda = \frac{MA}{\phi(t)}$$

因此，如果  $\lambda$  是以这样的形式变化的，则就能得到均匀的实际加速度。可以用一数字的情况來說明，假使名义位移是 1 呎，在 0.04 秒時間內需要的实际速度是 40 呎/秒，梭子从静止开始，则实际加速度  $A = \frac{40}{0.04} = 1000$  呎/秒<sup>2</sup>。当  $t = 0.04$

$$\text{秒, } s = \phi(0.04) + \frac{1000(0.04)^2}{2} = 1$$

$$\text{即 } \phi(0.04) = 1 - 0.8 = 0.2 \text{ 呎}$$

假使  $M=1.0$  磅， $\lambda$  从  $t=0$  [因为  $\phi(0)=0$ ] 时的无穷大值降低到  $t=0.04$  秒时的  $\frac{1.0 \times 1000}{0.2 \times 32.2} = 155$  磅/呎。这三个极限值間函数的正确形式决定于  $\phi(t)$  的形式，这个关系式将是連續函数。对目前討論的要求來說更精确的定义是不必要的。

假使在开始投梭时投梭机构是絕對刚性的，以后弹性逐渐增加，那末就能得到等加速运动。这个結果在实际上如何能够确切地得到是可以想象的。例如在下打手織机上利用滑动夹子以增加投梭棒的有效长度。但是实际困难是很大的，因此这个方法似乎很少有实用价值。

从以上可以看出，得到均匀的实际加速度的实用方法是应用适当方式的复合运动，前阶段运动的目的是使投梭机构充分变形，这样再轉变成后阶段的运动，即轉变为能够得

到等名义加速度的运动时，就得到均匀的实际加速度。在討論第七章的复合运动前，对实际上碰到的或其性质适用于作前阶段或后阶段运动的某几种运动先作研究，这些运动方式是：

$s = v\theta$  的运动 (第四章)

$s = q\theta^2$  的运动 (第五章)

$s = A \sin \mu t$  的运动 (第六章)

## 第四章 等名义速度: $s = v\theta$ 的运动

在人造絲織机及棉織机上能发现接近于  $s = v\theta$  这一方式的运动。这种运动已由文生特进行了充分的研究，这里只给出了这一运动性质的一些摘要。这一运动的方程式的形式为：

$$\ddot{\theta} + n^2 \dot{\theta} = n^2 v\theta = n^2 v\omega t$$

将这一方程式积分可得到下列的解：

$$\begin{aligned}\dot{\theta} &= v\omega \left( t - \frac{\sin nt}{n} \right) & a = v\omega t \\ \dot{x} &= v\omega \left( 1 - \cos nt \right) & \ddot{x} = v\omega^2 \\ x &= v\omega n \sin nt & \ddot{s} = 0\end{aligned}\quad \left. \begin{array}{l} \\ \\ \end{array} \right\} \dots\dots\dots (7)$$

各个名义数量置于相应的实际数量的旁边以便比較。加速过程的时间为  $\frac{\pi}{n}$  秒，这一过程的最終实际位移为  $\frac{\pi v\omega}{n}$  呎，最終速度达到  $2v\omega$  呎/秒，也就是等名义速度的二倍。最大加速度为  $v\omega n$  呎/秒<sup>2</sup>，它发生于  $\frac{\pi}{2n}$  秒后，也就是在加速期  $\frac{\pi}{n}$  秒的中途，最大加速度力为  $Mv\omega n$  磅。

在論文中的其他大部分內容中我們提出了設計投梭凸輪的若干条件，以便对不同运动的优点作討論和評价。这些設計条件的选择是有意义的。为达到减少最大加速度而設計新的运动，在很大程度上是依赖于采用大的名义的与实际的投梭动程。假使投梭动程縮短，则它们的优越性就很快地降低。另一方面，还得考虑当投梭轉子与凸輪的終点接触后，梭子还要移动的一段距离（通常是几吋），这一段距离要附加到工

作动程上去的。在很多織机上实际有效的名义投梭动程只是8吋或减少一些，所以改进的效果已很小，甚至可以略而不計。为了适应各章中以数字說明实例，在到第十二章时討論有效距受到梭箱长度的限制的情况前就先假定投梭的实际距离必須不超过12吋（这一尺寸已足够发挥已知运动所固有的各种优点）。

今假定梭子經加速后的末速为43.5呎/秒，投梭运动的实际有效动程限制为1呎。另外，投梭系統的 $n$ 聯 $100\text{ 秒}^{-1}$ ，質量 $M$ 为1磅。对于 $s = v\theta$ 的运动方式， $v\omega = 21.75\text{ 呎/秒}$ ，加速过程的距离为0.68呎，最大的加速度是 $2175\text{ 呎/秒}^2$ (67.5g)，最大加速度力是67.5磅。这种方式的运动表示在图1上。

可以提出二个有意义之点。第一，运动的全部時間不能超过很小的量 $\frac{\pi}{n}$ ，因而自然产生很大的最大加速度，同时也不可能应用运动的整个有效动程。第二，虽然名义运动的時間可能大于 $\frac{\pi}{n}$ 秒，但它对梭子的速度不再起作用。

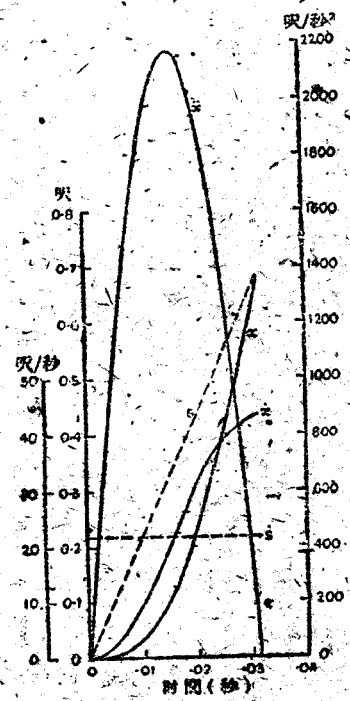


图 1

$$\begin{aligned}s &= v\theta \text{ 运动 } (\omega = 100 \text{ 秒}^{-1}), \\v\omega &= 21.75 \text{ 呎/秒}, M = 48.5 \text{ 哑}\end{aligned}$$

刚性度对运动的一般影响應該作分別的研究，因最大加速度数值的获得在頗大的程度上决定于刚性度的大小。研究的条件已作了扩充，所以刚性度所包括的数值取 70 与 130 秒<sup>-1</sup>之間；这一范围足够包括实际工作中所遇到的大多数情形。要达到所需速度， $v\omega$  的最小值是 21.75 呎/秒，即相当于在  $T$  秒時間完成运动，而  $T = \frac{\pi}{n}$ 。假使  $v\omega$  的数值是 21.75 呎/秒以上，则需要的速度 43.5 呎/秒在  $\frac{\pi}{n}$  秒前就能达到。从方程式(7)知，假定  $nT$  不小于  $\frac{\pi}{2}$ 。則最大的实际加速度永远是  $v\omega n$  呎/秒<sup>2</sup>。凸輪作用的投梭动程或名义距离  $S$  能从方程式(7)已刚性度及总時間  $T$  表示成下式：

$$S = v\omega T = \frac{43.5T}{1 - \cos nT}$$

$S$  对应于最小的  $v\omega$  有一最大值  $\frac{21.75\pi}{n}$  或  $\frac{68.34}{n}$  呎，并当  $nT = 2.381$  弧度，也就是  $v\omega = 25.75$  呎/秒时，有一最小值  $\frac{60.03}{n}$  呎，当  $v\omega$  超过 25.75 呎/秒时，投梭动程增加很慢而最大加速度增加很快。对于刚性度  $n$  的任何数值，投梭动程必須在最小值  $\frac{60.03}{n}$  呎与最大值  $\frac{68.34}{n}$  呎之間。图 2(a) 为对应于刚性度而画出的最大及最小投梭动程，图 2(b) 为对应于梭箱有效距离而画出的最大加速度。当梭箱有效距离超过  $\frac{68.34}{n}$  呎，則其中一部分便不能使用，所以每根曲綫的最后部分有一条与軸平行的直綫。极端的情况是相当于  $n = 68.34$  秒<sup>-1</sup>，及最大的投梭动程为 12 呎。

图 4(a) 清楚地表出了最大加速度与刚性度之间的关系。前者的范围从  $\ddot{s} = 2828$  呎/秒<sup>2</sup> (87.8g) (当  $n = 130$  秒<sup>-1</sup>) 到